

This airborne geophysical survey and the production of this map were funded by the Saskatchewan Ministry of Energy and Resources and the GEM-Energy Program of the Earth Sciences Sector, Natural Resources Canada.

Ce levé géophysique aéroporté et la production de cette carte ont été financés par le ministère de l'Energie et des Ressources de la Saskatchewan et le programme GEM-Energie du Secteur des sciences de la Terre, Ressources naturelles Canada.

GEOGRAPHICAL SERIES / SÉRIE DES CARTES GÉOPHYSIQUES

AIRBORNE GEOPHYSICAL SURVEY OF THE NORTHWESTERN ATHABASCA BASIN, SASKATCHEWAN LEVÉ GÉOPHYSIQUE AÉROPORTÉ DE LA PARTIE NORD-OUEST DU BASSIN ATHABASCA, SASKATCHEWAN

NTS 74 K/10 Field Lake / SRNC 74 K/10 Field Lake

URANIUM

Authors: Fortin, R., Coyle, M., Buckle, J.,
Hefford, S.W. and Delaney, G.

Data acquisition, compilation and map production by Gold Airborne
Surveys, Saskatoon, Saskatchewan. Contract and project management
by the Geological Survey of Canada, Ottawa, Ontario.

Universal Transverse Mercator Projection
Other Majority the Queen in Right of Canada 2011

Digital topographic data provided by Geomatics Canada, Natural Resources Canada
Données topographiques numériques de Géomatique Canada, Ressources naturelles Canada

Scale 1:50 000 - Échelle 1/50 000

mètres 1000 0 1000 2000 3000 mètres

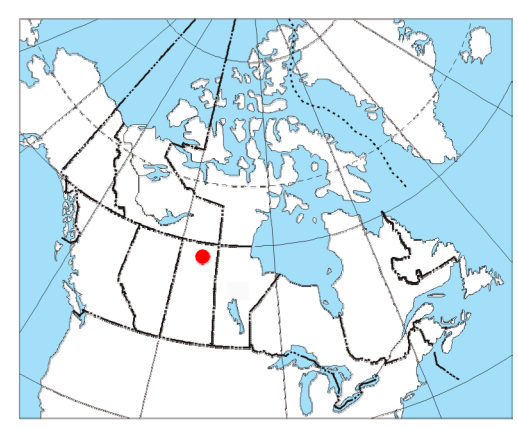
NAD83 / UTM zone 13N

Auteurs : Fortin, R., Coyle, M., Buckle, J.,
Hefford, S.W. et Delaney, G.

L'acquisition, la compilation et la production de la carte
ont été effectuées par Gold Airborne, Saskatoon,
Saskatchewan. La gestion et la supervision du projet furent effectuées
par la Commission géologique du Canada, Ottawa, Ontario.

Projection transversale universelle de Mercator
Système de projection de la Terre au 1:50 000, 1983
Système de projection de la Terre au 1:50 000, 1983

Données topographiques numériques de Géomatique Canada, Ressources naturelles Canada



NORTHWESTERN ATHABASCA BASIN GEOPHYSICAL SURVEY, SASKATCHEWAN

Introduction

A quantitative gamma-ray spectrometric and aeromagnetic airborne geophysical survey of the Northwestern Athabasca Basin, Saskatchewan, was completed by Gold Airborne Surveys. The survey was flown from June 24 to September 21, 2010, on two Piper PA-31 Navajo aircraft (C-GJBA, C-GJBB) and the Cesna Caravan (C-GLDX). The nominal traverse and line spacings were, respectively, 400 m and 2400 m, and the ascent rate at a normal terrain clearance of 125 m at altitudes between 200 and 2100 m. Traverse lines were oriented 135° with orthogonal control lines. The flight path was recovered following post-flight differential corrections to raw data recorded by a Global Positioning System.

Gamma-ray Spectrometric Data

The airborne gamma-ray measurements were made with a Radiation Solutions RS-800 gamma-ray spectrometer using fourteen 102x102x49 mm NaI (Tl) crystals. The main detector array consisted of twelve crystals (total volume 50.4 litres), shielded by the main array, were used to detect variations in background radiation caused by atmospheric radon. The system constantly monitored the natural thoron peak for each crystal, and using a Gaussian least squares algorithm adjusted the gain for each crystal.

Potassium is measured directly from the 1460 keV gamma-ray photons emitted by K^{40} , whereas Uranium and Thorium are measured indirectly from gamma-ray photons emitted by daughter isotopes (B^{37} for Thorium). Although these are far down their respective decay chains, they are assumed to be in equilibrium with their parents; thus gamma-ray spectrometric measurements of Uranium and Thorium are referred to as equivalent Uranium and equivalent Thorium, i.e. U_{eq} and T_{eq} . The energy windows used to measure Potassium, Uranium and Thorium are, respectively: 1370-1570 keV, 1660-1860 keV, and 2410-2610 keV.

Gamma-ray spectra were recorded at one-second intervals. Data processing followed standard procedures as described in IAEA, 1991 and IAEA, 2003. During processing, the spectra were energy calibrated, and counts were converted to counts per second per square centimetre per keV. The energy windows were corrected for detector efficiency, and the count rates were corrected for dead time, background and atmospheric radon. The window data were then corrected for scattering in the ground, the air and detectors. Corrections for deviations from the planned terrain clearance and for variation of temperature and pressure were made prior to conversion to ground concentrations of Potassium, Uranium and Thorium, using factors determined from flights over the northern Saskatchewan clay range. The factors for Potassium, Uranium and Thorium are listed in Table 1.

Table 1 Gamma Ray Spectrometer Factors

Corrected data were binned and interpolated to a 100 m grid interval. The results of an airborne gamma-ray spectrometer survey represent the average surface concentrations that are influenced by varying amounts of cutting, overburden, vegetation cover, soil moisture and surface water. As a result the measured concentrations are usually lower than the actual bedrock concentrations. The total absorbed dose in nanograys per hour was produced from measured counts between 400 and 2810 keV.

Magnetic Data

The magnetic field was sampled 10 times per second using a soft-beam cesium vapour magnetometer (sensitivity = 0.005 nT) rigidly mounted to the aircraft. Differences in magnetic values at the intersections of control and traverse lines were computer-analyzed to obtain a mutually leveled set of right-line magnetic data. The leveled values were then interpolated to a 100 m grid. The International Geomagnetic Reference Field (IGRF) defined at the average GPS altitude of 510 m for the year 2010.61 was then removed. Removal of the IGRF, representing the magnetic field of the Earth's core, produces a residual component related essentially to magnetizations within the Earth's crust.

The first vertical derivative of the magnetic field is the rate of change of the magnetic field in the vertical direction. Computation of the first vertical derivative removes long wavelength features of the magnetic field and significantly improves the resolution of closely spaced and superposed anomalies. A property of first vertical derivative maps is the coincidence of zero-value contour with vertical contacts of magnetic units at high magnetic latitudes (Hood, 1995).

LEVÉ GÉOPHYSIQUE DE LA PARTIE NORD-OUEST DU BASSIN ATHABASCA, SASKATCHEWAN

Introduction

Un levé géophysique aéroporté combinant l'acquisition de données de spectrométrie gamma et de données magnétiques a été réalisé dans la partie nord-ouest du bassin de l'Athabasca en Saskatchewan par la société Goldair Airborne Surveys. Le levé a été effectué du 24 juin au 21 septembre 2010, à bord de deux avions Piper PA-31 Navajo (C-GJBA, C-GJBB) et d'un Cesna Caravan (C-GLDX). L'espacement nominal des lignes de vol était de 400 m et celui des lignes de contrôle de 2400 m. L'altitude nominale de l'levé était de 125 m au-dessus de la surface. Les lignes de vol étaient toutes dans le sens est-ouest, mais les lignes de contrôle étaient toutes orientées nord-sud. Les lignes de vol étaient perpendiculaires. La trajectoire de vol a été restituée par application après la vol de corrections différentes aux données brutes enregistrées avec un récepteur GPS.

Données de spectrométrie gamma

Les mesures du rayonnement gamma ont été effectuées à l'aide d'un spectromètre gamma Radiation Solutions RS-800 utilisant quartz-cristal de NaI (Tl) de 102x102x49 mm. Deux cintres (volume total de 50.4 litres), protégés par le réseau principal, ont été utilisés pour déceler les variations du rayonnement naturel causé par le radon atmosphérique. Le dispositif permettait de faire un suivi constant des autres cristaux pour chacun des cristaux, et au moyen d'un algorithme d'ajustement gaußien pour la mesure de la gain pour chacun des cristaux.

Le potassium est mesuré directement à l'aide des photons gamma de 1460 keV émis par le K^{40} , tandis que l'uranium et le thorium sont mesurés indirectement par leur dérivé de dilution. Les plages d'absorption totale pour l'uranium et le thorium sont désignées comme des équivalents d'uranium et des équivalents de thorium, soit U_{eq} et T_{eq} . Les plages d'énergie utilisées pour mesurer le potassium, l'uranium et le thorium sont respectivement: de 1 370 à 1 570 keV, de 1 860 à 1 860 keV et de 2 410 à 2 610 keV. Le débit total de la dose absorbée par l'air, en nanorads, a été déterminé d'après les coupes mesurées dans la plage de 400 à 2810 keV.

Les spectres de rayonnement gamma ont été enregistrés à intervalle d'une seconde. Le traitement des données a suivi les procédures standard décrites dans IAEA, 1991 et IAEA, 2003. Pendant le traitement, les spectres ont été soustraits des moyennes des séries de données de fond et les données de fond ont été soustraits des données de rayonnement naturel. Les données de fond ont été soustraits des données de rayonnement naturel et des produits de désintégration du radon atmosphérique. Les données ont ensuite été corrigées pour tenir compte du temps mort instrumental, du rayonnement cosmique, de la radioactivité de l'atmosphère et des corrections pour les pertes d'efficacité des détecteurs. Les corrections pour le potassium, l'uranium et le thorium ont été appliquées en utilisant des facteurs déterminés lors de vols effectués au-dessus de la bande d'étalonnage de Daniellson, Saskatchewan. Les facteurs pour le potassium, l'uranium et le thorium sont présentés dans la Tableau 1. Pour la mise en carte, un filtre a été appliqué aux données corrigées, qui ont ensuite été interpolées suivant une grille à mailles de 100 m.

Tableau 1. Sensibilité des spectromètres de chaque avion.

Les résultats d'un levé aéroporté de spectrométrie gamma représentent les concentrations moyennes à la surface. Celles-ci sont influencées par les étendues variables des affleurements, des mers-térains, de la couverture végétale et de l'eau de surface. Par conséquent, les concentrations mesurées sont habituellement plus faibles que les concentrations réelles dans le substratum rocheux.

Données sur le champ magnétique

Le champ magnétique a été échantillonné 10 fois par seconde à l'aide d'un magnétomètre à vapeur de cédisium à fréquence partagé (sensibilité = 0.005 nT) rigidement fixé à l'avion. Les différences de valeur du champ magnétique aux intersections des lignes de contrôle et des lignes de levé ont été analysées afin d'obtenir un ensemble de données sur le champ magnétique mutuellement nivelées sur les lignes de vol. Ces valeurs nivellées ont ensuite été interpolées sur une grille de 100 m. Le champ magnétique a été soustrait de l'IGRF, qui représente le champ magnétique du noyau terrestre, pour une contribution résiduelle essentiellement reliée à la magnetisation de l'écoulement terrestre.

La dérivée première verticale du champ magnétique représente le taux auquel varie le champ magnétique suivant la verticale. Le calcul de la dérivée première verticale suppose les composantes de grande longueur d'onde du champ magnétique et améliore considérablement la résolution des anomalies rapprochées les unes des autres ou superposées. L'une des propriétés des cartes de la dérivée première verticale est la coïncidence de l'isograde de valeur zéro et des contacts verticaux aux hautes latitudes magnétiques (Hood, 1995).

References / Références

Hood, P.J. 1965. Gradient measurements in aeromagnetic surveying. *Geophysics*, v.30, 891-902.

International Atomic Energy Agency, 1991. Airborne gamma ray spectrometer surveying. Technical Reports Series 323, IAEA, Vienna.

International Atomic Energy Agency, 2003. Guide lines for radioelement mapping using gamma-ray spectrometry data. Technical Reports Series 1363, IAEA, Vienna

PLANIMETRIC SYMBOLS

Drainage	Drainage
Highway	Autoroute
Flight line	1155 >	ligne de vol

SYMBOLES PLANIMÉTRIQUES

Drainage	Drainage
Highway	Autoroute
Flight line	1155 >	ligne de vol

MAP SHEET SUMMARY / SOMMAIRE DES FEUILLES

Sheet / Feuillet MAP / CARTE

1. Natural Air Absorbed Dose Rate

Taux d'absorption naturel des rayons gamma dans l'air

2. Potassium

Uranium

3. Uranium

Thorium

4. Thorium

Uranium / Potassium

5. Uranium / Thorium

Uranium / Potassium

6. Thorium / Potassium

Thorium / Potassium

7. Thorium / Potassium

Thorium / Potassium

8. Ternary Radioelement Map

Diagramme ternaire des radotéléments

9. First Vertical Derivative of the Magnetic Field

Dérivée première du champ magnétique

10. First Vertical Derivative of the Magnetic Field

Dérivée première verticale du champ magnétique

11. First Vertical Derivative of the Magnetic Field

Dérivée première verticale du champ magnétique

12. First Vertical Derivative of the Magnetic Field

Dérivée première verticale du champ magnétique

13. First Vertical Derivative of the Magnetic Field

Dérivée première verticale du champ magnétique

14. First Vertical Derivative of the Magnetic Field

Dérivée première verticale du champ magnétique

15. First Vertical Derivative of the Magnetic Field

Dérivée première verticale du champ magnétique

16. First Vertical Derivative of the Magnetic Field

Dérivée première verticale du champ magnétique

17. First Vertical Derivative of the Magnetic Field

Dérivée première verticale du champ magnétique

18. First Vertical Derivative of the Magnetic Field

Dérivée première verticale du champ magnétique

19. First Vertical Derivative of the Magnetic Field

Dérivée première verticale du champ magnétique

20